

- [6] Исаилзаде И. Г., Нестеренко В. И., Мириши Ф. А. // Кристаллография. 1968. Т. 13. № 1. С. 33—37.
- [7] Лайнс М., Гласс А. Сегнетоэлектрики и родственные им материалы. М.: Мир, 1987. 736 с.
- [8] Турик А. В., Чернобабов А. И., Тополов В. Ю. // ФТТ. 1983. Т. 25. Вып. 9. С. 2839—2841.
- [9] Печений А. П., Антимирова Т. В., Глинчук М. Д. и др. // ФТТ. 1988. Т. 30. Вып. 11. С. 3286—3293.
- [10] Van der Klink J. J., Rytz D., Borsa F. et al. // Phys. Rev. B. 1983. Vol. 27. N 1. P. 89—101.

Ростовский-на-Дону государственный университет  
Научно-исследовательский  
институт физики

Поступило в Редакцию  
15 июля 1988 г.  
В окончательной редакции  
16 февраля 1989 г.

11

Журнал технической физики, т. 59, в. 10, 1989

## СТАТИСТИКА АВТОЭЛЕКТРОННОЙ ЭМИССИИ ВОЛЬФРАМА В ШИРОКОМ ДИАПАЗОНЕ ПЛОТНОСТЕЙ ТОКА

*B. I. Маслов, Г. Н. Фурсей, A. B. Кочерыженков*

В ряде работ высказываются теоретические соображения и получены косвенные экспериментальные данные, указывающие на возможность многочастичного туннелирования при автоэлектронной эмиссии (АЭ) [1, 2]. В работе [2] эти представления привлечены для объяснения аномалий высокоэнергетических хвостов при энергетическом распределении. Гадзуком и Пламмером предложена качественная теоретическая модель, основанная на обменном взаимодействии, приводящем к парному туннелированию электронов в вакуум. Многоэлектронное рассмотрение для описания эмиссионного процесса является сложным, но актуальным делом, поскольку вопрос о многочастичном туннелировании является одним из принципиальных моментов. Получение информации об этих эффектах весьма заманчиво: кроме расширения знаний об энергетической структуре, принципиально возможно исследование корреляционных эффектов, содержащих сведения об электрон-электронном и электрон-фотонном взаимодействиях. Так, можно было бы экспериментально оценить времена жизни квазичастиц в твердом теле.

Измерение статистики элементарных актов является прямым методом наблюдения таких многочастичных эффектов. Методика, развитая в последние годы, базируется на регистрации слабых электронных потоков ( $1—10^3 e/c$ ) с применением полупроводниковых детекторов [3]. В работах [3, 4] разработана корректная методика исследования численности элементарного акта АЭ и было установлено, что статистика АЭ атомарно-чистого вольфрама в различных кристаллографических направлениях и в температурном интервале 77...1000 К имеет одиноэлектронный характер на 99.9 %. По указанной выше причине измерения в этих и других работах проводились при плотностях тока до  $10^{-4} A/cm^2$ . В то же время, как следует из теории, вероятность многочастичного туннелирования существенно зависит от прозрачности барьера (для пар — квадратично). Измерение статистики АЭ при больших плотностях тока, соответствующих высокой прозрачности потенциального барьера, наталкивается на принципиальное затруднение, связанное с наложением рабочих импульсов в спектрометрическом тракте.

Простой способ уменьшения загрузки детектора, а именно уменьшение диаметра зондирующей диафрагмы, неподходящ, так как он может привести к частичной потере информации о корреляционных эффектах, имеющих размерный характер. Дело в том, что если два электрона туннелируют из одной точки эмиттирующей поверхности, то на анод они могут прийти в точках, расположенных в «круге рассеяния». Диаметр круга рассеяния определяется величинами тангенциальных компонент начальных скоростей электронов, а также дифракцией электронных волн [5].

Известные способы, такие как режектирование наложений с помощью электронных схем или вычислительные методы обработки искаженных спектров, не позволяют значительно продвинуться по динамическому диапазону плотности тока [6, 7]. Нами был разрабо-

Так способ регистрации заряженных частиц [8], позволяющий на 8 порядков увеличить промежуточную величину потока частиц. Предложенный способ позволяет также значительно улучшить временные разрешение с нескольких микросекунд до пикосекунд; принципиально возможно получение времени разрешения фемтосекундного диапазона. Указанный способ был положен в основу методики исследования статистики АЭ в широком диапазоне плотностей тока. Результатам этого исследования посвящена настоящая работа.

Суть разработанного метода измерения статистики АЭ при больших плотностях тока заключается в следующем. Пучок электронов, прошедший сквозь зондирующее отверстие в аноде, фокусируется и затем при помощи отклоняющей системы с бегущей волной производится его импульсное отклонение в плоскости, перпендикулярной плоскости коллектора. На коллекторе установлена щелевая диафрагма, за которой располагается детектор. При сканировании пучка поперек диафрагмы происходит режекция (выделение) электронов пучка на детектор в течение короткого промежутка времени, определяющего временные разрешение. Оператором устанавливается период следования импульсов режекции, не меньший длительности рабочего времени спектрометрического тракта, и, таким образом, полностью исключается наложение импульсов в спектрометре.

Конструкция экспериментального прибора включает в себя автоэмиссионный проектор с зондирующим отверстием, электронно-формирующее устройство, производящее режекцию электронного пучка, и полупроводниковый детектор. На установке было достигнуто энергетическое разрешение  $\sim 2.2$  кэВ, что достаточно для раздельной регистрации групп электронов различной численности. Диаметр зондирующей диафрагмы анода составлял 0.1—1.0 мм, что соответствует диаметру зондируемого участка поверхности 100—1000 Å.

В качестве эмиттера использовалось остряе из монокристалла вольфрама, ориентированного в направлении  $\langle 100 \rangle$ , либо в направлении  $\langle 110 \rangle$ . Вокруг грани  $(100)$  располагается яркая область, что облегчает юстировку остряя при выведении в зондирующее отверстие анода пучка большой плотности.

Кроме исследования ярких участков грани  $(100)$  обычного слаженного остряя из W, были проведены измерения и с остряя, подвергшегося термополевой перестройке. Перестроенный эмиттер, имеющий вместо округленной и слаженной вершины ограненную, интересен с той точки зрения, что для него характерно увеличение слабоэмиттирующих граней. Эта особенность облегчает проведение исследования на плотноупакованных гранях. Важно также то обстоятельство, что перестроенная форма отличается большей однородностью в пределах данного кристаллографического участка, например, по такому параметру как работа выхода.

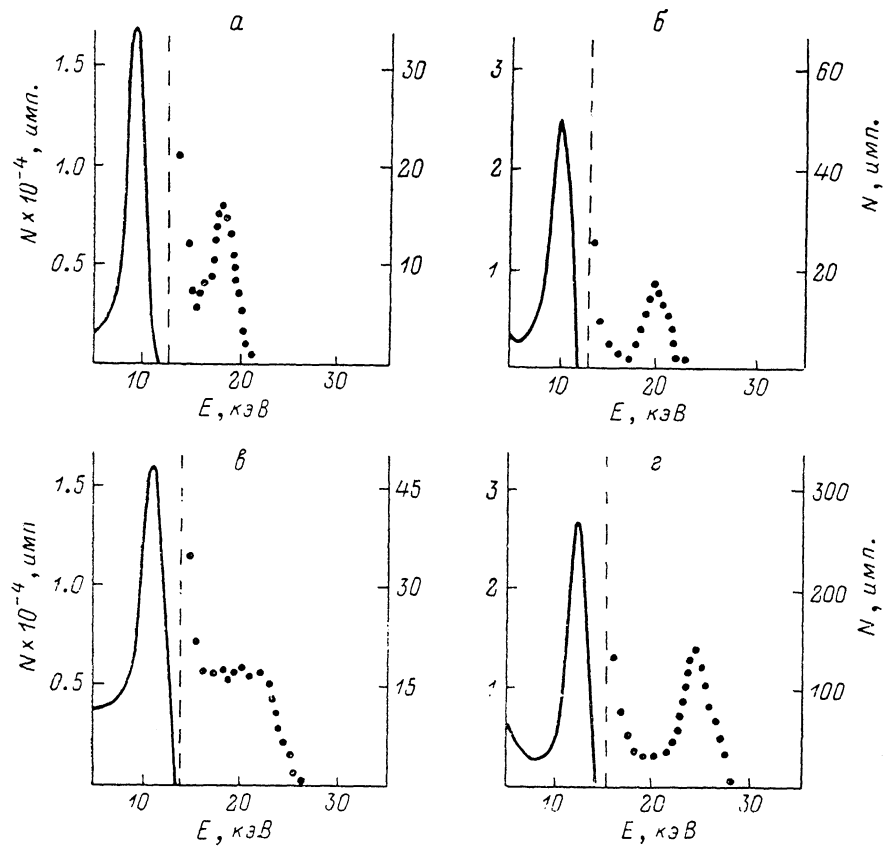
При относительно небольших плотностях тока (до  $\sim 10^{-1}$  А/см<sup>2</sup>) разумно применять режекцию электронного пучка по вершине импульса [8]: этот режим соответствует регистрации с большим временем разрешения. Применение генератора с длительностью импульса  $t_g = 5$  нс позволило на 3 порядка увеличить плотность тока АЭ при сохранении чувствительности методики на уровне 0.1 % к парным актам эмиссии. Для полного исключения наложения рабочих импульсов в спектрометрическом тракте частота следования импульсов режекции не превышала 200 кГц.

Один из типичных спектров статистики АЭ вольфрама с ярких окружений грани  $(100)$  при времени разрешения  $t_{\text{разр}} = 5$  нс приведен на рисунке, а. Плотность тока в этом измерении была 0.2 А/см<sup>2</sup>. В таблице приведены данные расчета спектров статистики АЭ W с отдельных участков граней  $(110)$  и  $(100)$  и при разных плотностях тока. Здесь  $P$  — величина потока электронов, прошедших сквозь зондирующее отверстие анода;  $S_2/S_1$  — отношение площади второго пика к площади первого, являющееся верхней оценкой вероятности туннелирования пары скоррелированных электронов.

$U, \text{kV}$	$j, \text{A/cm}^2$	$P, \text{e/c}$	$t_{\text{разр}}, \text{нс}$	$S_2/S_1 \times 10^4$
8.6	$2 \cdot 10^{-6}$	100	$5 \cdot 10^3$	2
9.5	$2 \cdot 10^{-4}$	200	$5 \cdot 10^3$	5
10.2	$2 \cdot 10^{-2}$	$1.5 \cdot 10^4$	80	6
10.6	$1 \cdot 10^{-1}$	$7.5 \cdot 10^4$	5	8
9.5	2.0	$1 \cdot 10^6$	0.1	0.8
10.4	10	$5 \cdot 10^6$	0.1	4
11.7	100	$5 \cdot 10^7$	0.1	40
12.1	200	$1 \cdot 10^8$	0.1	85

Измерения статистики АЭ в диапазоне плотностей тока  $10^{-1}$ — $10^2$  А/см<sup>2</sup> проводились в режиме режекции по фронту импульса. При этом было достигнуто временное разрешение 100 пс. Характерный спектр статистики АЭ W при плотности тока 10 А/см<sup>2</sup> приведен на рисунке, б.

Отметим особенности спектра наложений в режиме импульсной режекции. В стационарном режиме [3, 4] спектр наложений представляет собой «ступеньку» во втором окне спектра, которая обусловлена наложениями рабочих импульсов в спектрометрическом тракте (см. рисунок, в). В случае полного исключения последних (что достигается при импульсной режекции) спектр наложений вместо «ступеньки» представляет собой четко выраженный второй (или



Спектры статистики АЭ вольфрама с ярких окружений грани (100) при плотностях тока  $j=0.2$  (а), 10 А/см<sup>2</sup> (б) и в стационарном режиме  $j < 10^{-4}$  (в),  $j=200$  А/см<sup>2</sup> (г).

п-й) пик, обусловленный парами электронов (или  $n$  электронов), случайно пришедших в течение разрешающего времени. Идентификация спектра наложений проводилась изменением разрешающего времени при варьировании длительности или крутизны фронта импульса режекции [8]. Во всех измерениях амплитуда второго пика не превышала расчетной величины. В случае пуссоновского распределения частиц коэффициент наложений, обуславливающий величину второго пика, определяется приближенным выражением  $K=P \cdot t_{\text{разр.}}$ .

Обработка спектров статистики показала отсутствие двухчастичных актов АЭ при чувствительности методики к парам электронов на уровне 0.1 %. При плотности тока  $\sim 10^2$  А/см<sup>2</sup> в связи с увеличением коэффициента наложений одноэлектронный характер статистики АЭ установлен с точностью 99 % (см. рисунок, г). Эти измерения (при увеличенном коэффициенте наложений) проводились с целью выявления многочастичных эффектов, вероятность которых имела бы зависимость от полного тока более сильную, чем квадратичная.

#### Список литературы

- [1] Lea C., Gomer R. // Phys. Rev. Lett. 1970. Vol. 25. P. 804—806.
- [2] Gadzuk J. W., Plummer E. W. // Phys. Rev. Lett. 1971. Vol. 26. P. 92—95.
- [3] Афанасьев Н. П., Егоров Н. В., Кочерыженков А. В., Фурсей Г. Н. // ПТЭ. 1982. № 5. С. 141—142.

- [4] Фурсей Г. Н., Егоров Н. В., Кочерыженков А. В. // Письма в ЖТФ. 1981. Т. 7. Вып. 13. С. 798–801.
- [5] Gomer R. // J. Chem. Phys. 1952. Vol. 20. N 11. P. 1772–1776.
- [6] Вольдсем Р. Прикладная спектрометрия рентгеновского излучения. М.: Атомиздат, 1977. 192 с.
- [7] Пазман А. // ПТЭ. 1969. № 3. С. 112–115.
- [8] Маслов В. И., Фурсей Г. Н., Кочерыженков А. В. А. с. 1340371. БИ. 1988. № 20. 267 с.

Ленинградский  
электротехнический институт связи  
им. М. А. Бонч-Бруевича

Поступило в Редакцию  
19 июля 1988 г.  
В окончательной редакции  
19 января 1988 г.

01; 07

Журнал технической физики, т. 59, в. 10, 1989

## ДИНАМИКА ПРОЦЕССОВ ПЕРЕКЛЮЧЕНИЯ БИСТАБИЛЬНЫХ СИСТЕМ С ЗАПАЗДЫВАНИЕМ

Б. Д. Левитан, А. В. Субашев

Типичным примером бистабильной оптической системы с запаздыванием является гибридный бистабильный оптический прибор (БОП), включающий в себя электрооптический модулятор, охваченный запаздывающей обратной связью [1]. Коэффициент пропускания оптического модулятора  $F$  зависит от напряжения на его затворе  $U$ ,  $F=1/2(1+f \cos \beta U)$ ,  $\beta$ ,  $f$  — параметры модулятора. С учетом обратной связи и запаздывания, обусловленного временем прохождения светового сигнала и задержки электрического сигнала в цепи обратной связи, работа прибора описывается уравнением

$$\tau \frac{dU}{dt} + U(t) = \alpha I_0 F(\tilde{U}) + V, \quad (1)$$

где  $\tilde{U}$  — напряжение на затворе БОП в момент  $t-T$ ,  $\tilde{U}=U(t-T)$ ,  $T$  — время задержки,  $\tau$  — постоянная времени электрической цепи,  $I_0$  — интенсивность падающего на БОП излучения,  $V$  — напряжение смещения,  $\alpha$  — коэффициент передачи цепи обратной связи.

Уравнение (1) заменой переменных  $t'=t/\tau$ ,  $\varphi=\beta U-\pi/2$ ,  $G=T/\tau$  приводится к стандартному виду [2]

$$d\varphi/dt' + \varphi = A \sin \varphi (t' - G) + B, \quad (2)$$

где величины  $A=A(I_0)$  и  $B=B(I_0, V)$  можно считать независимыми параметрами, задаваемыми выбором величин  $I_0$  и  $V$ .

Исследованию уравнения (2) в связи с режимами БОП посвящен целый ряд работ ([1–3], см. также [4]). В частности, известно, что при  $B=0$  и  $0 < A < 1$  уравнение (2) имеет одно устойчивое стационарное решение  $\varphi=0$ . В некотором интервале  $1 < A < A_1$  существуют три стационарных решения, из которых одно ( $\varphi=0$ ) неустойчиво, а два других ( $\varphi=\varphi_+$  и  $\varphi=\varphi_-$ ) устойчивы. При дальнейшем увеличении параметра  $A$  эти решения также теряют устойчивость, что приводит к возникновению автоколебаний. Аналогичная картина имеет место и при  $B \neq 0$ .

В настоящей работе исследуются переходные процессы, происходящие в БОП в бистабильном режиме  $1 < A < A_1$  при больших временах запаздывания  $G \gg 1$  и  $B < 1$ .

Рассмотрим процесс переключения БОП, т. е. перехода БОП из одного устойчивого состояния в другое в результате импульса переключения (изменения параметров  $A$  и  $B$ ). Весь процесс можно разбить на начальный этап  $t' < 0$ , во время которого изменяются величины  $A$  и  $B$ , и этап установления  $t' > 0$ , на котором  $A$  и  $B$  остаются постоянными. Из (2) следует, что зависимости  $A(t')$  и  $B(t')$  на начальном этапе переключения формируют функцию  $\varphi(t')$  на промежутке  $0 < t' < G$  в начале этапа установления. Мы обозначим ее через  $\varphi_0$ .

Для дальнейшего удобно переписать уравнение (2), выполнив подстановку  $t'=x+nG$ , где  $n$  — целое число. Вводя обозначение  $\varphi(t')=\varphi(x+nG)=\varphi_n(x)$ , для функций  $\varphi_n(x)$  получим систему уравнений

$$d\varphi_{n+1}/dx + \varphi_{n+1}(x) = A \sin \varphi_n(x) + B, \quad (3)$$